

Signaturtechnisches Gutachten
zur Planung von Windenergieanlagen
im Gebiet Rehna-Torisdorf
im Einflussbereich der militärischen
Radaranlage Elmenhorst

27.09.2022

Gutachten Nr.: TEYYX-234/22

Auftraggeber:

Energie-Projekt-Nord GmbH
Niedernstraße 5
23628 Lübeck-Krummesse

Auftragnehmer:

Airbus Defence and Space GmbH
Airbus-Allee 1
28199 Bremen

Durchgeführt von:

Dipl.-Ing. (FH) Michael Gottschalk

*von der Handelskammer Bremen öffentlich bestell-
ter und vereidigter Sachverständiger für Hochfre-
quenz- und Signaturtechnik, insbesondere Störein-
flussanalysen für Windenergieanlagen*

unter Beteiligung von:

Dipl.-Ing. (FH) T.Bischoff

Tel.: +49.421.539-3020

Mobil: +49.170.269-9608

Fax: +49.421.538-3481

E-Mail: michael.gottschalk@airbus.com

Ausfertigung Nr.: - pdf -

Das Gutachten besteht aus den Seiten 1 bis 38.

Inhaltsverzeichnis:

1	Vorbemerkung zum Gutachten	3
2	Zielsetzung	4
3	Aufgabenbeschreibung	7
4	Referenzuntersuchung.....	8
5	Untersuchungsverfahren.....	12
6	Technische Analyse	15
6.1	Radartechnische Randbedingungen.....	18
6.2	Bewertung des Einflusses von Einzelanlagen und Gruppierungen.....	22
6.3	Bewertung des Gesamteinflusses des Windparks	31
7	Gesamtbeurteilung/Zusammenfassung der Ergebnisse	34
	Anhang A: Abkürzungen und Begriffe	38

1 Vorbemerkung zum Gutachten

Das vorliegende Gutachten fasst die Erkenntnisse und den technischen Stand der fachlichen Abstimmung mit den Entscheidungsträgern des Luftfahrtamtes der Bundeswehr – insbesondere der militärischen Flugsicherung bzw. des Radar-Einsatzführungsdienstes der Luftwaffe – zum Zeitpunkt der Erstellung des Berichtes zusammen.

Das Gutachten dient zur Vorlage und als Entscheidungsgrundlage im Rahmen des Genehmigungsverfahrens bei dem zuständigen BAIUDBw (Bundesamt für Infrastruktur, Umweltschutz und Dienstleistungen der Bundeswehr) sowie der Luftwaffe als Betreiber der Radaranlage in Elmenhorst.

Eine betriebliche Bewertung, die eine nichttechnische Folgenabschätzung für die Nutzer der Radarsysteme bedeutet bzw. ob mögliche Einflüsse zu betrieblich relevanten Störungen der Radarortungsanlagen führen, erfolgt im Rahmen dieser Untersuchung nicht, da hierzu u. a. eine sehr konkrete operationelle Bewertung der Aufgaben der Radarortungssysteme erforderlich ist.

Eine Überprüfung der Anforderungen der Hindernisfreiheit gemäß der ICAO - Convention Annex 14 –, die die grundsätzlich zulässige Bauhöhe von Objekten beliebiger Art festlegt, erfolgt im Rahmen des Gutachtens nicht. Diese ist für jeden Umgebungsort eines Flugplatzes festgelegt und unveränderlich. Sie dient dem Schutz von Luftfahrzeugen im Flug und steht nicht im Zusammenhang mit der radartechnischen Problematik, die Gegenstand des Gutachtens ist.

Nachstehend erfolgt zunächst die technische Bewertung für das Luftverteidigungsradar (LV-Radar) Elmenhorst gemäß Kapitel 2 bis 6.

Die Gesamtbeurteilung der einzelnen Ergebnisse zum LV-Radar Elmenhorst ist im Kapitel 7 dargestellt.

2 Zielsetzung

Die Analyse eines möglichen Störpotentials gegenüber dem Luftverteidigungsradarsystem in Elmenhorst erfolgt für 10 geplante Windenergieanlagen unter Berücksichtigung von Fremdplanungen von insgesamt 19 Windenergieanlagen sowie der Vorbelastung aus 19 Windenergieanlagen verschiedener Typen. Die geplanten Windenergieanlagen im Windpark Rehna-Torisdorf befinden sich südsüdwestlich des Radarstandortes Elmenhorst in einer Entfernung von ca. 24 km. Die in der Untersuchung berücksichtigten Koordinaten der WEAs sind der Tabelle 6 zu entnehmen.

Im Rahmen der aktuellen Planung zu diesem Projekt erfolgt eine Bewertung anhand der geplanten sowie vorhandenen WEA im Hinblick auf die Störfreiheit gemäß den Forderungen zur Vermeidung von radarwirksamen Verschattungserscheinungen, die im Schwerpunkt für 3D-Radarsysteme relevant sind.

Dabei stützt sich eine Untersuchung zur Klärung der technischen Möglichkeiten im Hinblick auf die Sicherstellung der Erhaltung der heutigen (Stör-) Situation bzw. zur Klärung des zu erwartenden veränderten Störpotentials durch die neu geplanten Windenergieanlagen auf vergleichbare Vorhaben in der Umgebung von Radarortungsanlagen zur Luftverteidigung ab. In der vorliegenden Untersuchung werden die technischen Betriebsparameter der Radarortungsanlage Elmenhorst, die einer Sicherheitseinstufung unterliegen, zu Grunde gelegt. Eine ausführliche Beschreibung der technischen Betriebsparameter und Aufgabenstellungen des Systems erfolgt aus diesem Grund nicht.

Die Beurteilung möglicher Störeinflüsse von Windenergieparks und Windenergieanlagen erfolgt daher unter folgenden Kriterien für 3D-Radarsysteme:

- Messtechnisch feststellbare Radarverschattungen durch die geplanten WEA
- Gerichtete Reflexionen
- Streufelderscheinungen, insbesondere infolge von Wechselwirkungen zwischen benachbarten Windenergieanlagen

- Bewertung der Streufeldintensität für einzelne WEA wie auch für mehrere WEA unter Berücksichtigung deren Wechselwirkung
- Messtechnisch feststellbare Radarverschattungen durch die geplanten WEA im Falle der notwendigen Berücksichtigung vorhandener räumlich vor- oder nachgelagerter WEA im Hinblick auf 3D-Radarsysteme
- Konkrete Parameter des LV-Radarsystems: Antennenposition, Antennenhöhe, Azimutauflösung, Betriebsfrequenzbereich
- Anforderungen der DFS (Deutsche Flugsicherung) sowie der Bundeswehr zur Vermeidung radarwirksamer Verschattungen bei Primärradaren

Berücksichtigt sind weiter die Referenzuntersuchungen gemäß Kapitel 4.

Die Bewertung der Ergebnisse zum radarwirksamen Verschattungseinfluss bei Luftverteidigungsradarsystemen erfolgt im Hinblick auf die Möglichkeiten einer messtechnischen Erfassbarkeit dieser Einflüsse. Grundlage sind die bisher vorliegenden messtechnischen Untersuchungen von Random-Traffic-Aufzeichnungen sowie Feldvermessungsberichte zu allen stationären LV-Radarstandorten der Bundeswehr. Eine Beurteilung, ob diese Einflüsse zu betrieblich relevanten Störungen der Radarortungsanlage führen, erfolgt im Rahmen dieser Untersuchung nicht, da hierzu u. a. eine sehr konkrete Bewertung der Aufgaben des Radarortungssystems erforderlich ist.

Es sei darauf hingewiesen, dass eine Minderung der messtechnisch mit Hilfe von SASS-C ermittelbaren Entdeckungswahrscheinlichkeit zur Überprüfung von Radarverschattungen in der vorliegenden Untersuchung als nicht feststellbar erachtet wird, wenn die Reichweitenminderung geringer ist als der radiale Abstand bzw. Versatz zweier Rangefenster von 5 NM. Das ungestörte Feld dient dabei als Bezug. Die Radarreichweite ist dabei auf 100 % normiert. Die Lfz-Position wird in ca. 130 NM angenommen. Eine messbare Beeinflussung liegt danach bei einer Reichweitenminderung auf unter 96,2 % vor.

Dieses Verfahren basiert auf den messtechnischen Untersuchungen der Referenzuntersuchungen gemäß Kapitel 4 und stellt den validierten Zusammenhang zwischen der ermittelten Änderung des elektromagnetischen Ausbreitungsfeldes und der Zielgröße des Radarortungssystems dar.

Potentiell störrelevant sind im Standortbereich des geplanten Windparks neben der Turm- und der Nabenkonstruktion die Rotorblätter. Radarwirksame Verschattungen können infolge zu geringer Distanzen zum Radaranlagenstandort vorliegen. Streufelder und gerichtete Reflexionen durch metallische Blitzschutzstrukturen können eine unzuverlässige bzw. ungenaue Zielpositionserkennung bewirken.

Es wurden die folgenden Detail-Untersuchungen durchgeführt:

Für den Windpark Rehna-Torisdorf sind 10 Windenergieanlagen vom Typ Vestas V172 mit 175 m Nabhöhe in Planung. Gleichzeitig existieren Fremdplanungen von insgesamt 19 Windenergieanlagen. Als Vorbelastung zusätzlich berücksichtigt sind insgesamt 19 WEA verschiedener Typen und Nabenhöhen.

Für diese Windenergieanlagen wurde der Einfluss der geplanten Situation unter radartechnischen Aspekten sowie unter Beachtung der topografischen Bedingungen geprüft. Auf dieser Grundlage erfolgen Rückschlüsse zu den Wechselwirkungen zwischen den vorhandenen und künftigen Einflüssen auf das Radarsystem unter den vor genannten technischen Aspekten.

Es werden im Ergebnis Vorschläge formuliert und begründet, an welchen Orten zusätzliche Windenergieanlagen unter den genannten radartechnischen Kriterien als zulässig erachtet werden. In diesem Zusammenhang sind verschiedene Variationsmöglichkeiten zum Projekt untersucht worden.

3 Aufgabenbeschreibung

Südsüdwestlich des Radarstandortes Elmenhorst ist in ca. 24 km Entfernung die Errichtung von 10 Windenergieanlagen vom Typ Vestas V172 mit 175 m Nabenhöhe in Planung. Gleichzeitig existieren Fremdplanungen von insgesamt 19 Windenergieanlagen. Als Vorbelastung zusätzlich berücksichtigt sind insgesamt 19 WEA verschiedener Typen und Nabenhöhen.

Geplante Anlagen:

Der geplante Anlagentyp Vestas V172 hat eine horizontale Ausdehnung der Naben- und Generator konstruktion von maximal ca. 18,97 m. Die Höhe kann mit maximal 4,95 m angegeben werden. Der Querschnitt des Turms als Stahlturm oder Stahlbetonturm am Anschluss zur Gondel ist mit ca. 4,3 m angegeben. Der Rotordurchmesser beträgt ca. 172 m. Die ermittelten Ergebnisse in diesem Gutachten behalten auch bei einem ggf. kleineren Rotordurchmesser ihre Gültigkeit ohne Einschränkungen.

Ziel dieser Untersuchung ist es, unter den Kriterien, die in den nachstehenden Kapiteln genannt sind, eine Aussage über die durch die geplanten WEA erzeugten und zu erwartenden radarverschattungswirksamen Störeinflüsse und daraus folgenden Reichweitenminderungen zu erarbeiten und – soweit erforderlich – Maßnahmen zu deren Beseitigung und deren Wirksamkeit aufzuzeigen.

4 Referenzuntersuchung

Die vorliegende Untersuchung berücksichtigt neben den durchgeführten Simulationsrechnungen zusätzlich Erkenntnisse aus rechnergestützten und messtechnischen Analysen von anderen Windkraftvorhaben im Nahbereich unterschiedlichster Radarortungssysteme. Der Schwerpunkt der vorliegenden messtechnischen Grundlagen und Referenzen bezieht sich auf 3D-Radarsysteme zur Luftverteidigung. Bei der Modellierung sowie der rechnergestützten Strahlungsfeldanalyse der vorliegenden WEA-Anordnung wurden die gleichen Verfahren aus den nachstehend genannten Vorhaben in weiterentwickelter Version genutzt.

Grundlagen dieser Untersuchungen sind u. a.:

- 1) Computergestützte Strahlungsfeldanalysen der DASA/EADS zur Beurteilung der Einflüsse einzelner Windkraftanlagen im Nahbereich des militärischen Radarsensors Auenhausen/NRW. Die Resultate wurden in einem Bericht vom September 1998 zusammengefasst.
- 2) Flugvermessungen zur Verschattungswirkung von Windkraftanlagen im Nahbereich des Radarsensors Auenhausen im Jahr 1996. Diese messtechnische Kampagne diente der Überprüfung des Zusammenhangs zwischen den durch Analyseverfahren ermittelbaren Änderungen des elektromagnetischen Ausbreitungsfeldes und der Zielgröße Erfassungswahrscheinlichkeit des Radarortungssystems.
- 3) Technische Vorgaben der Bundeswehr an die Untersuchung von Windenergieanlagen zum Radarsensor Brockzetel vom September 1998
- 4) Durchgeführte computergestützte Strahlungsfeldanalyse der DASA/EADS zur Beurteilung der Einflüsse einzelner Windkraftanlagen mit Nabenhöhen von 98 m über Grund. Dabei wurden gezielt unterschiedliche Distanzen zu einer Radarortungsanlage bewertet. Die Resultate wurden in einem Bericht vom Januar 1999 zusammengefasst. Die gewählten Modellparameter bei der Nachbildung dieser

- Windenergieanlagen entsprechen den Parametern der Untersuchungen nach a und b zu Auenhausen, da hierbei jeweils eine sehr gute Übereinstimmung zwischen den computergestützten Strahlungsfeldanalysen sowie den Flugvermessungen festgestellt wurde.
- 5) Durchgeführte Flugvermessungen zum Radarsensor Brockzetel/Niedersachsen vom April 1999. Diese messtechnische Kampagne diente der Überprüfung des Zusammenhangs zwischen den durch Analyseverfahren ermittelbaren Änderungen des elektromagnetischen Ausbreitungsfeldes und der Zielgröße Erfassungswahrscheinlichkeit des Radarortungssystems.
 - 6) Computergestützte Strahlungsfeldanalysen der DASA im Rahmen einer Machbarkeitsanalyse für ein Aufstellungskonzept eines Windenergieparks. Die Resultate zu radartechnisch möglichen Anordnungen einer größeren Anzahl von Windenergieanlagen im Nahbereich des Radarsensors Brockzetel wurden dabei in einem Bericht im Mai 1999 zusammengefasst.
 - 7) Interpretation und Beteiligung an der Auswertung von Flugvermessungen im Rahmen der „Arbeitsgruppe Messtechnik“ – 1999 bis 2003 – unter Leitung des Luftwaffenführungskommandos
 - 8) Computergestützte Feldanalysen der EADS in Abstimmung mit der Erprobungsstelle WTD 81 der Bundeswehr in Greding zur Beurteilung des Einflusses von Windenergieanlagen bei unterschiedlichen Radarbetriebsfrequenzen im Jahr 2003
 - 9) Untersuchung von Windenergieanlagen-Anordnungen im Einflussbereich/Arbeitsbereich von Luftverteidigungsanlagen der Typen MPR, HADR und RRP 117 mit unterschiedlichen Frequenzen in den Jahren 2002 bis 2005
 - 10) Untersuchung von WEA Anordnungen in großer Distanz sowie deren Einfluss auf Luftverteidigungsradaranlagen des Typs HADR und Vergleich mit Flugverkehrsaufzeichnungen in den Jahren 2008 und 2009
 - 11) Report DoD USA „ THE EFFECs OF WIND TURBINE FARMS ON MILITARY READINESS 2006“
 - 12) Eurocontrol “ Guidelines from Wind turbine task force “ Version 1.2

- 13) ICAO EUR Doc. 15 2nd Edition, September 2009 und neuere Ausfertigungen
- 14) ICAO – Doc 8071 – Manual on Testing of Radio Navigation Aids; Vol. III
- 15) Abschlussbericht: Einfluss von Hindernissen auf HF-gestützte Führungsmittel vom 15.02.2004
- 16) Feldstudie RAF AWC „ The Effects of Wind turbine Farms on ATC Radar“ vom 10.05.2005
- 17) Messtechnische Untersuchung durch EADS an Rotorblättern und Bauweisen im Auftrag eines Windenergieanlagen-Herstellers zur Ermittlung von reflexionsdämpfenden Möglichkeiten aus 2003
- 18) Messtechnische RQS-Untersuchung einer WEA vom Typ Enercon E66 durch Fa. Qinetiq, Großbritannien aus 2003
- 19) Besprechung und Vortrag bei „Eurocontrol / Wind energy task group“ vom 01.03.2006 „Potential effects of wind turbines and justiciable solutions“
- 20) Guidelines on How to Assess the Potential Impact of Wind Turbines on Surveillance Sensors“, Version 0.15 vom 30. Juni 2009
- 21) EADS Erkenntnisse aus messtechnischen Untersuchungen der Luftwaffe zum Einfluss von Windenergieanlagen auf die Erfassungen von Flugzielen am Beispiel einer 3D-Radaranlage zur Luftverteidigung aus 2011
- 22) Sondervermessung des Radars Auenhausen zum Einfluss von Windenergieanlagen – nicht öffentlich – im Auftrag des Einsatzführungsdienstes der Luftwaffe, Ausfertigung Januar 2013. Diese messtechnische Kampagne diente der Überprüfung des Zusammenhangs zwischen den durch Analyseverfahren ermittelbaren Änderungen des elektromagnetischen Ausbreitungsfeldes und der Zielgröße Erfassungswahrscheinlichkeit des Radarortungssystems.
- 23) Berichte zu Feldvermessungen verschiedener Radargerätetypen zur Lage und Radarsicht an verschiedenen Radarstandorten, Bericht zwischen 2008 und 2016

- 24) Besprechung im Luftfahrtamt der Bundeswehr zur Bewertung von WEA vom 05. und 06.02.2018
- 25) Besprechung im Luftfahrtamt der Bundeswehr zur Bewertung von WEA im Zusammenhang mit dem Störzellentool vom 26.11. 2019

Neuere messtechnische Untersuchungen konzentrieren sich auf vergleichende Detailuntersuchungen zu konkreten Bestandsparks, werden daher nicht explizit aufgeführt und dienen der Verifikation der Ergebnisse der genannten Grundlagenuntersuchungen.

5 Untersuchungsverfahren

Das eingesetzte numerische Untersuchungsverfahren zur Strahlungsfeldanalyse im Raum basiert bzgl. der Nachbildung der Windenergieanlagen auf dem mathematischen Verfahren der Momentenmethode.

Bei den Untersuchungen der Einflüsse auf die Reichweite des Radarsystems, die radarwirksamen Abschattungswirkungen sowie der Wechselwirkungen der Windenergieanlagen untereinander wurden die Feldberechnungen im dreidimensionalen Raum bei jeder einzelnen Konfiguration der Bauwerke bzw. einer Windenergieanlage oder einer Gruppe von Windenergieanlagen für verschiedene Raumgebiete sowie unterschiedliche Höhen durchgeführt. Dabei wird die Höhe, bzw. der Elevationswinkel des LFZ im Luftraum, in großer Distanz variiert. In der vorliegenden Untersuchung wurde der Schwerpunkt auf einen sehr niedrigen Elevationswinkel (Höhenwinkel) von $+0,2^\circ$ gelegt. Die Ergebnisse der Feldverteilung bzw. der Feldintensitäten liegen somit im dreidimensionalen Raum vor.

Die Objektstrukturen der untersuchten Bauwerke, wie WEA, Strommasten oder andere Hochbauten, werden dabei in der Gesamtheit zusammen mit ggf. vorhandenen Geländestrukturen in diesem Bereich erfasst. Die Darstellung der Ergebnisse in den Abbildungen beschränkt sich im vorliegenden Gutachten auf die leicht geneigte Analyseebene zwischen dem Lfz und der Radarantenne derart, dass der Höhenbereich der Gondeln, d. h. der Bereich, in dem die intensivsten Störungen hervorgerufen werden können, dargestellt wird.

Grundsätzlich wird bei den numerischen Analysen als Worst-Case-Ansatz das Raumgebiet der Gondel zusammen mit dem Turm als verschattungsrelevante Objektstruktur nachgebildet, die sich im Falle einer vollständigen Rotation ergibt. Die Rotororientierung wird hierbei so gewählt, dass die Rotorachse auf den Radarsensor zeigt. Damit sind zusätzlich die ungünstigsten Randbedingungen, die sich bei wechselnden Windrichtungen ergeben können, berücksichtigt.

Das elektromagnetische Strahlungsfeld wird im gesamten Entfernungs- und Raumbereich zwischen dem Lfz und der Radarortungsanlage berechnet. Für jede einzelne Analyse wird auf dieser Grundlage die Intensitätsverteilung des Feldes in einem 400 m breiten und einem viele Kilometer langen Feldgebiet – ausgehend von der Radarortungsanlage – dargestellt. Dieses Feldgebiet stellt somit den letzten Streckenabschnitt der vom Lfz reflektierten Radarwelle dar. In den Abbildungen sind somit die Feldstärkeverteilungen der letzten Kilometer mit der Radarortungsanlage als Zielpunkt angegeben.

Das Raumgebiet um das Radarsystem wird mit unterschiedlichen Feldpunktdichten analysiert, um eine gesicherte Datenbasis für die Beurteilung der zu erwartenden Einflüsse auf die Empfangsfeldstärke zu haben.

Grundsätzlich wird bei den Feldberechnungen eine normierte elektrische Feldstärke bei Annahme vertikaler Polarisierung ausgewiesen. Die Darstellung der Ergebnisse erfolgt durch als Farbflächen gekennzeichnete Feldstärkeverteilungen sowie durch 3D-Konturdarstellungen, die die räumliche Ausdehnung des Streufeldes in der direkten Umgebung der streuenden Struktur der Windenergieanlage deutlich machen.

Ein Einfluss auf die Radarortungssysteme wird als messtechnisch mit z. B. SASS-C (vgl. Anhang A) nachweisbar beurteilt, wenn die Feldstärkeminderungen am Ort der Empfangsantenne zu einer Reichweitenminderung auf 96,2 % oder weniger gegenüber dem ungestörten Fall (100 %) führen. Die Beurteilung von messbaren Reflexions- und Streufeldeinflüssen orientiert sich an Änderungen der Empfangsfeldstärke, die eine gleiche Größenordnung erreichen.

Eine Bewertung, ob die messbaren Einflüsse eine Beeinträchtigung des Betriebes des Radarortungsverfahrens bedeuten, erfolgt im Rahmen dieser Untersuchung nicht.

Für die aktuelle Untersuchung zu diesem Projekt werden die Distanzen zum Radar und die Anordnungen der Windenergieanlagen mittels einer präzisen Berechnungsmethodik bestimmt, welche die Geodäten auf Basis des Referenzellipsoids WGS84 berechnet und eine detaillierte Geländeoberfläche zwischen dem Radar und den

Windenergieanlagen berücksichtigt. Die Abweichungen betragen bei diesem Verfahren für die untersuchten Entfernungen nur noch wenige Dezimeter. Bei diesem Verfahren wird ebenfalls der Einfluss durch die sich ergebende Erdkrümmung berücksichtigt.

Durch diese Änderungen der genaueren Nachbildung der zu untersuchenden Szenarien ergibt sich für die WEA-Anordnungen und das Referenzgebiet gegenüber älteren Untersuchungen ein anderes Pegelniveau.

Die Ergebnisse auf Grundlage der Geländeaufbereitung in früheren Untersuchungen stellen eine sehr konservative Berechnung einer Worst-Case-Betrachtung dar, bei der die Einflüsse des Geländes sowie die Erdkrümmung nicht im vollen Umfang mit berücksichtigt wurden.

Anmerkung:

Im Falle ggf. unbekannter Daten von Anlagentypen, insbesondere bei Bestandsanlagen, wurde entweder der nächstgrößere Anlagentyp der Baureihe verwendet, falls vorhanden, oder es wurden die Daten eines ähnlichen Modells berücksichtigt, stets unter Berücksichtigung des Worst-Case-Prinzips.

6 Technische Analyse

Die nachstehenden Untersuchungen zur Beurteilung des Einflusses von WEA auf das Radarstrahlungsfeld wurden unter Berücksichtigung der Generatorbauform, den vorhandenen Blitzschutzkonzepten, der Turmdimensionierung und den Nabenhöhen durchgeführt. Ein geringfügig größerer Rotordurchmesser bewirkt keine Abweichungen von den nachfolgenden Analyseergebnissen.

Die Abbildung 1 gibt die untersuchten Kubaturen der Naben- und Generatorbauformen der geplanten Dimensionen wieder. Die Maximalabmessungen der nachgebildeten Generatorgondeln sowie die Durchmesser des jeweiligen oberen Turmanschlusses sind angegeben.

Die Abbildung 2 zeigt eine Luftaufnahme der berücksichtigten geplanten WEAs im Windpark Rehna-Torisdorf sowie die Vorbelastung bezüglich der Radaranlage Elmenhorst.

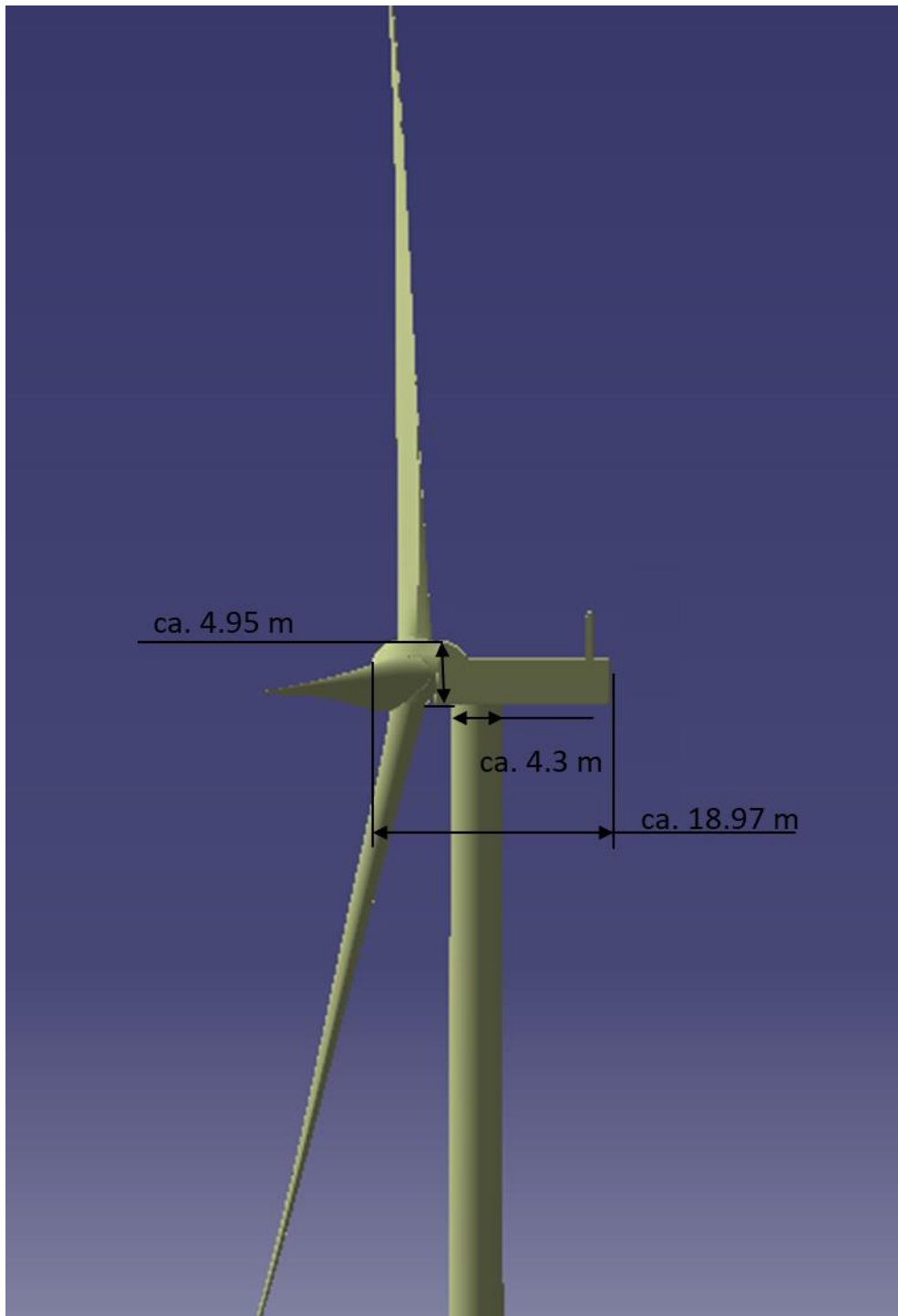


Abbildung 1: Schematische Objektgeometrie für die geplante WEA-Bauform Vestas V172 mit ca. 172 m Rotor



Abbildung 2: Luftaufnahme des Windparks Rehna-Torisdorf mit den geplanten Windenergieanlagen (grün), den Fremdplanungen (magenta) sowie der relevanten Vorbelastung (blau). Die Einstrahlungsrichtungen bzgl. der Radaranlage Elmenhorst sind gelb dargestellt. Um eine bessere Übersicht zu gewährleisten wurden die Bezeichnungen von einzelnen Anlagen teilweise ausgeblendet.

6.1 Radartechnische Randbedingungen

In früheren Untersuchungen konnte nachgewiesen werden, welche räumliche Ausdehnung das Streufeld einer Windenergieanlage typischerweise hat. Sie zeigen, dass sich das Strahlungsfeld in großen Distanzen hinter einer verschattenden Windenergieanlage rekonstruiert. Bei der Beurteilung der Feldstärkeminderung ist daher zwischen dem Primärpfad vom Radarsystem zum Luftfahrzeug und dem Sekundärpfad des Signals vom reflektierenden Luftfahrzeug zurück zum Radarsystem zu unterscheiden. Die Ursache von möglichen Reichweitenreduktionen ist im vorliegenden Fall der durch die Windenergieanlage hervorgerufene Verschattungseinfluss im Sekundärpfad, bzw. die von der Windenergieanlage in Richtung Radarortungsanlage zeigende Verschattungswirkung.

Die Auswirkung durch eine oder mehrere Windenergieanlagen wird im dreidimensionalen Raum ermittelt.

Die nachstehende Abbildung 3 stellt schematisch einen zweidimensionalen Flächenausschnitt dar, der unter einem Elevationswinkel vom Luftfahrzeug herunter bis zur exakten Höhenposition der Radarantenne zeigt. Als Höhenposition am Ort der Radarortungsanlage wird die Unterkante der Radarantenne gewählt. Alle Feldstärken sind normiert und in dBV/m angegeben.

Die normierten Feldstärkewerte (der Referenzfall ohne WEA) gemäß der Abbildung 5 sind die Grundlage für die Untersuchungen.

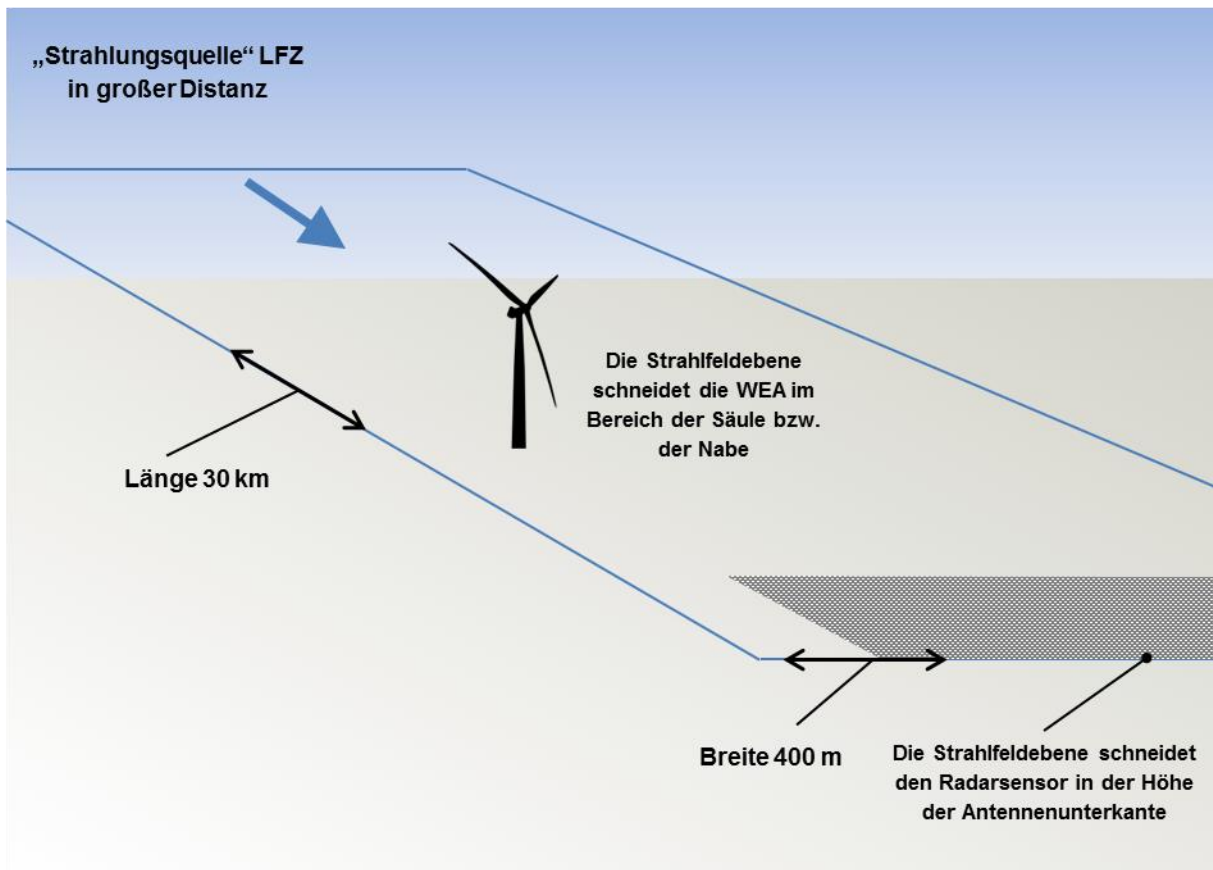


Abbildung 3: Anordnung von Radar und WEA sowie Lage des in dieser Untersuchung dargestellten Luftraums mit einer Ausdehnung von (hier) 30 km x 400 m Breite. Das Lfz wird in einer Distanz von bis zu 130 NM angenommen.
– schematische Darstellung –

Untersucht wird das gesamte elektromagnetische Ausbreitungsfeld, das vom erfassten Lfz in großer Distanz zurück zur Radaranlage zeigt (Sekundärpfad). Bildhaft dargestellt ist in der vorliegenden Untersuchung, wenn nicht anders angegeben, stets ein Feldgebiet für den Sekundärpfad im Streckenabschnitt vor der Radaranlage, das das vom Lfz reflektierte Signal zur Radaranlage bis 30 km Längenausdehnung und in einer Breite von 400 m darstellt. Der grau dargestellte Ausschnitt des Feldgebietes wird zusätzlich mehreren Detailanalysen als Variationsrechnung unterzogen, um eine ausreichende Datenbasis für die zu erwartenden Einflüsse auf die Empfangsverhältnisse des Radarsensors zu erhalten.

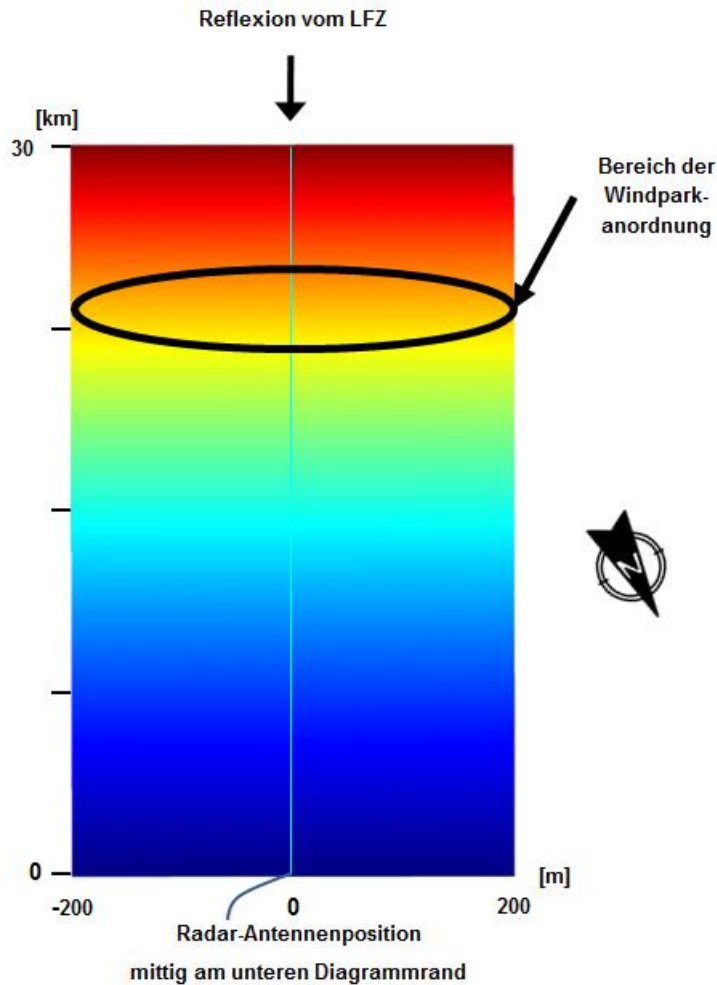


Abbildung 4: Feldgebiet von 30 km x 400 m in der Übersicht (schematische Übersicht für das Radar Elmenhorst)

Das Untersuchungsgebiet ist in der Übersicht dargestellt. Der Feldstärkeverlauf ist farblich in verschiedenen Abstufungen angegeben. Der Ort der Windparkplanung wurde in Abbildung 4 schematisch in der geplanten Distanz zu den Radarsystemen als schwarze Ellipse gekennzeichnet. Die Distanz der geplanten zukünftigen WEA-Anordnung zum Radar Elmenhorst liegt bei ca. 24 km.

Die Abbildung 5 gibt die Strahlungsfeldverteilungen als Referenz im Fall ohne Windenergieanlagen zum Vergleich für die Frequenz von ca. 1,3 GHz wieder. Die Werte sind normiert und dienen einer vergleichenden Betrachtung am Ort der Empfangsantenne als Referenzwert.

Bei der Betriebsfrequenz der Radaranlage in Elmenhorst gilt für den Fall ohne WEA im Rahmen der Simulation zum Strahlungsfeld der Referenzwert von:

-12,582 dBV/m (normierte Empfangsfeldstärke)

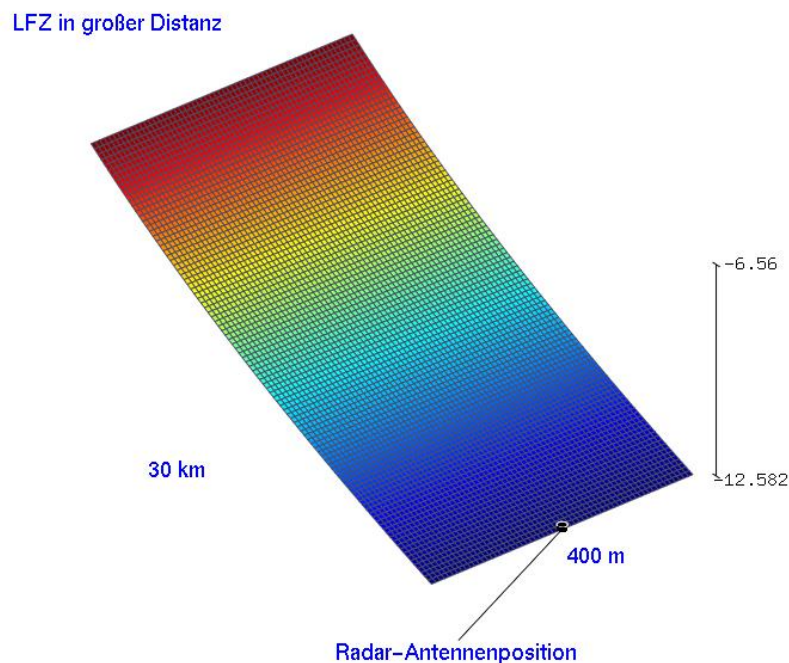


Abbildung 5: Das dargestellte Raumgebiet mit einer Elevation von $0,2^\circ$ ohne WEA-Einfluss in der Konturdarstellung für die Betriebsfrequenz des Radars Elmenhorst

Die nachfolgenden Untersuchungsergebnisse gemäß Kapitel 6.2 unter Berücksichtigung des Einflusses von Windenergieanlagen zeigen am Ort des Radarsensors von den o. g. Werten ohne WEA abweichende, üblicherweise geringere Feldstärkewerte. Diese Differenz der Werte wird in eine zu erwartende äquivalente Reduktion der Reichweite umgerechnet.

6.2 Bewertung des Einflusses von Einzelanlagen und Gruppierungen

Die Nachbildung der geplanten Windenergieanlagen vom Typ Vestas V172 erfolgt gemäß der Abbildung 1. Die Strahlungsfeldanalyse erfolgt für die nachfolgend angegebenen Anlagentypen und Standortkombinationen.

Notwendig ist die Analyse in verschiedenen Teilrichtungen, da die Radaranlage bei der Abtastung des Luftraums nicht alle WEA des genannten Projekts zeitgleich erfasst. Daher werden unter Berücksichtigung der Antennen- und Systemparameter verschiedene Teilrichtungen nacheinander geprüft.

Topologisch verschattete Anlagen wurden in den Analysen nicht berücksichtigt.

- **Anordnung A1** der geplanten Situation gemäß Tabelle 1. Die Analysen werden bei einer mittleren Distanz der Anordnung von ca. 21,37 km zur Radaranlage Elmenhorst durchgeführt.

A1				
WEAs	Anlage	NH [m]	Entfernung [m]	Winkeldiff. [°]
WEA FP05	N149-4.5	167	18328,67	0
WEA FP03	L147-4.3	125,5	17517,39	0,4564
WEA FP02	L147-4.3	125,5	16942,59	0,6983
WEA FP17	V150-5.6	166	22308,19	0,438
WEA FP19	V150-5.6	166	25312,36	0,3603
WEA 5	Vestas V172	175	24273,9	0,0199
WEA 7	Vestas V172	175	24939,3	0,064
			21374,63	

Tabelle 1: Teilanordnung der geplanten Situation (A1)

- **Anordnung A2** der geplanten Situation gemäß Tabelle 2. Die Analysen werden bei einer mittleren Distanz der Anordnung von ca. 22,15 km zur Radaranlage Elmenhorst durchgeführt.

A2				
WEAs	Anlage	NH [m]	Entfernung [m]	Winkeldiff. [°]
WEA FP02	L147-4.3	125,5	16942,59	0
WEA FP17	V150-5.6	166	22308,19	0,438
WEA FP19	V150-5.6	166	25312,36	0,3603
WEA 5	Vestas V172	175	24273,9	0,0199
WEA 7	Vestas V172	175	24939,3	0,064
WEA 6	Vestas V172	175	24625,24	0,1604
WEA FP04	E-138 EP3 E2	131	17187,11	0,1455
WEA FP01	L147-4.3	125,5	16786,6	0,1542
WEA 2	Vestas V172	175	23273,96	0,042
WEA 4	Vestas V172	175	23706,68	0,1037
WEA 1	Vestas V172	175	22837,87	0,0132
WEA B19	Vestas V162	169	23578,44	0,4233
			22147,69	

Tabelle 2: Teilanordnung der geplanten Situation (A2)

- **Anordnung A3** der geplanten Situation gemäß Tabelle 3. Die Analysen werden bei einer mittleren Distanz der Anordnung von ca. 23,19 km zur Radaranlage Elmenhorst durchgeführt.

A3				
WEAs	Anlage	NH [m]	Entfernung [m]	Winkeldiff. [°]
WEA FP19	V150-5.6	166	25312,36	0
WEA 5	Vestas V172	175	24273,9	0,0199
WEA 7	Vestas V172	175	24939,3	0,064
WEA 6	Vestas V172	175	24625,24	0,1604
WEA FP04	E-138 EP3 E2	131	17187,11	0,1455
WEA FP01	L147-4.3	125,5	16786,6	0,1542
WEA 2	Vestas V172	175	23273,96	0,042
WEA 4	Vestas V172	175	23706,68	0,1037
WEA 1	Vestas V172	175	22837,87	0,0132
WEA B19	Vestas V162	169	23578,44	0,4233
WEA FP18	V150-5.6	166	25125,3	0,3281
WEA 8	Vestas V172	175	24734,27	0,1842
WEA 10	Vestas V172	175	23950,35	0,2008
WEA 9	Vestas V172	175	24343,65	0,0228
			23191,07	

Tabelle 3: Teilanordnung der geplanten Situation (A3)

- **Anordnung A4** der geplanten Situation gemäß Tabelle 4. Die Analysen werden bei einer mittleren Distanz der Anordnung von ca. 24,09 km zur Radaranlage Elmenhorst durchgeführt.

A4				
WEAs	Anlage	NH [m]	Entfernung [m]	Winkeldiff. [°]
WEA B19	Vestas V162	169	23578,44	0
WEA FP18	V150-5.6	166	25125,3	0,3281
WEA 8	Vestas V172	175	24734,27	0,1842
WEA 10	Vestas V172	175	23950,35	0,2008
WEA 9	Vestas V172	175	24343,65	0,0228
WEA B18	Vestas V162	169	23630,24	0,2647
WEA FP13	V150-5.6	166	23242,78	0,0016
WEA FP16	V150-5.6	166	25217,9	0,4166
WEA FP15	V150-5.6	166	24784,77	0,3477
WEA FP14	V150-5.6	166	24335,33	0,0017
WEA 3	Vestas V172	175	23905,08	0,1097
WEA FP11	V150-5.6	166	22931,81	0,1984
WEA FP12	V150-5.6	166	23356,54	0,0023
			24087,42	

Tabelle 4: Teilanordnung der geplanten Situation (A4)

- **Anordnung A5** der geplanten Situation gemäß Tabelle 5. Die Analysen werden bei einer mittleren Distanz der Anordnung von ca. 23,81 km zur Radaranlage Elmenhorst durchgeführt.

A5				
WEAs	Anlage	NH [m]	Entfernung [m]	Winkeldiff. [°]
WEA B18	Vestas V162	169	23630,24	0
WEA FP13	V150-5.6	166	23242,78	0,0016
WEA FP16	V150-5.6	166	25217,9	0,4166
WEA FP15	V150-5.6	166	24784,77	0,3477
WEA FP14	V150-5.6	166	24335,33	0,0017
WEA 3	Vestas V172	175	23905,08	0,1097
WEA FP11	V150-5.6	166	22931,81	0,1984
WEA FP12	V150-5.6	166	23356,54	0,0023
WEA FP10	V150-5.6	166	22913,24	0,7984
			23813,08	

Tabelle 5: Teilanordnung der geplanten Situation (A5)

Abbildung 6 bis Abbildung 10 geben für die Betriebsfrequenz der militärischen Radaranlage Elmenhorst die Ergebnisse der **künftigen Situation** für die Anordnungen mit den geplanten Windenergieanlagen wieder.

Die Auswertung der Analyse für den Ort der empfangenden Radarortungsanlage erfolgt mittels der Feldpunktgitter, über das die Orte der berechneten Feldstärkewerte festgelegt sind.

Anordnung A1 der geplanten Situation gemäß Tabelle 1. Die Analysen werden bei einer mittleren Distanz der Anordnung von ca. 21,37 km zur Radaranlage Elmenhorst durchgeführt.

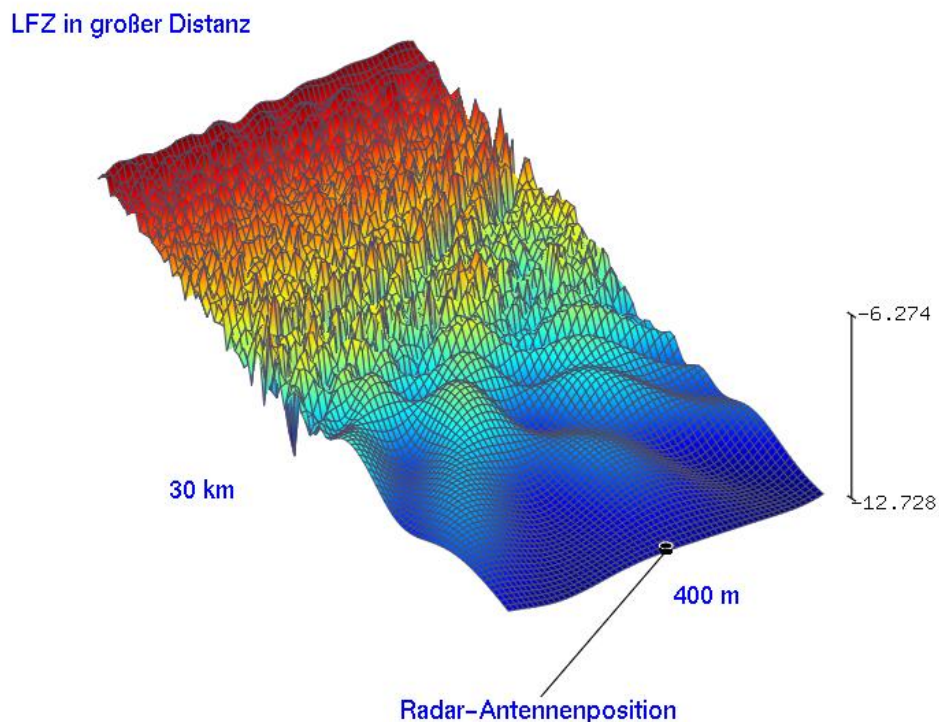


Abbildung 6: Reflexions- und Streufeldausbildung für die Anordnung A1 im Einflussbereich der Radaranlage Elmenhorst

Aus den abgebildeten Werten der Abbildung 6 mit -12,728 dBV/m errechnet sich gegenüber der Referenz gemäß den genannten Kriterien eine Reichweite von

98,33 %.

Der Verschattungseinfluss ist messtechnisch nicht feststellbar, das Kriterium ist erfüllt.

Anordnung A2 der geplanten Situation gemäß Tabelle 2. Die Analysen werden bei einer mittleren Distanz der Anordnung von ca. 22,15 km zur Radaranlage Elmenhorst durchgeführt.

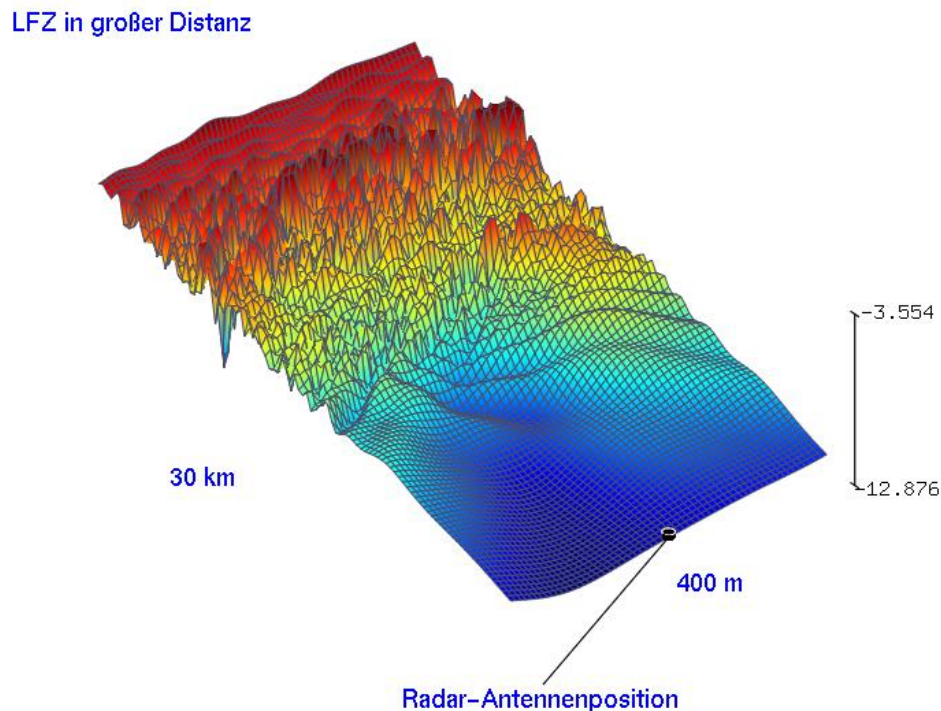


Abbildung 7: Reflexions- und Streufeldausbildung für die Anordnung A2 im Einflussbereich der Radaranlage Elmenhorst

Aus den abgebildeten Werten der Abbildung 7 mit -12,876 dBV/m errechnet sich gegenüber der Referenz gemäß den genannten Kriterien eine Reichweite von

96,67 %.

Der Verschattungseinfluss ist messtechnisch nicht feststellbar, das Kriterium ist erfüllt.

Anordnung A3 der geplanten Situation gemäß Tabelle 3. Die Analysen werden bei einer mittleren Distanz der Anordnung von ca. 23,19 km zur Radaranlage Elmenhorst durchgeführt.

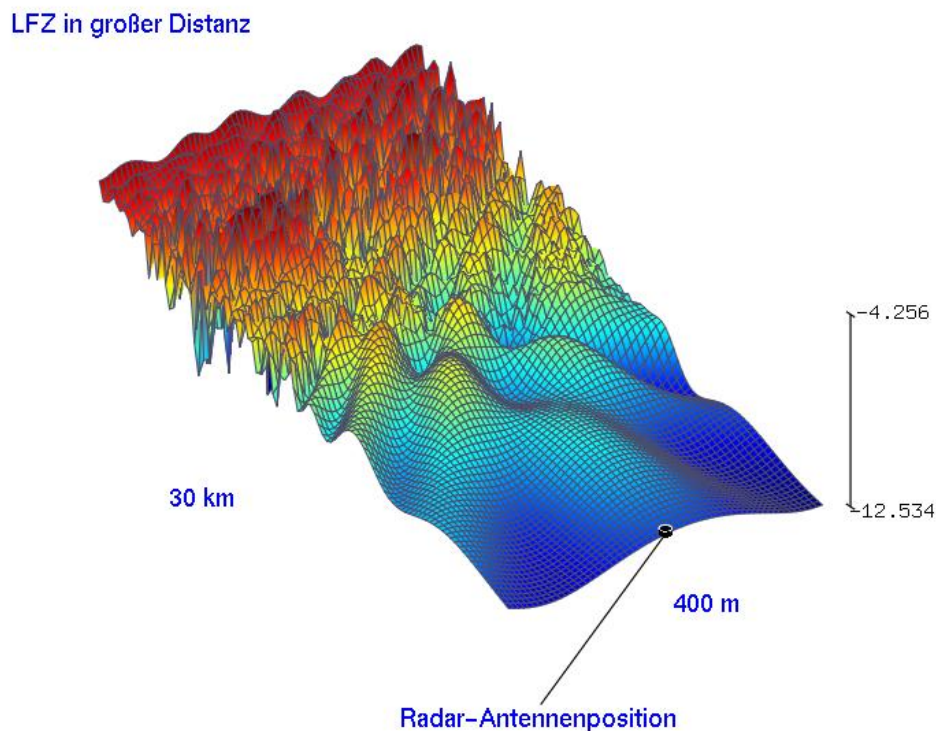


Abbildung 8: Reflexions- und Streufeldausbildung für die Anordnung A3 im Einflussbereich der Radaranlage Elmenhorst

Aus den abgebildeten Werten der Abbildung 8 mit -12,534 dBV/m errechnet sich gegenüber der Referenz gemäß den genannten Kriterien eine Reichweite von

100 %.

Der Verschattungseinfluss ist messtechnisch nicht feststellbar, das Kriterium ist erfüllt.

Anordnung A4 der geplanten Situation gemäß Tabelle 4. Die Analysen werden bei einer mittleren Distanz der Anordnung von ca. 24,09 km zur Radaranlage Elmenhorst durchgeführt.

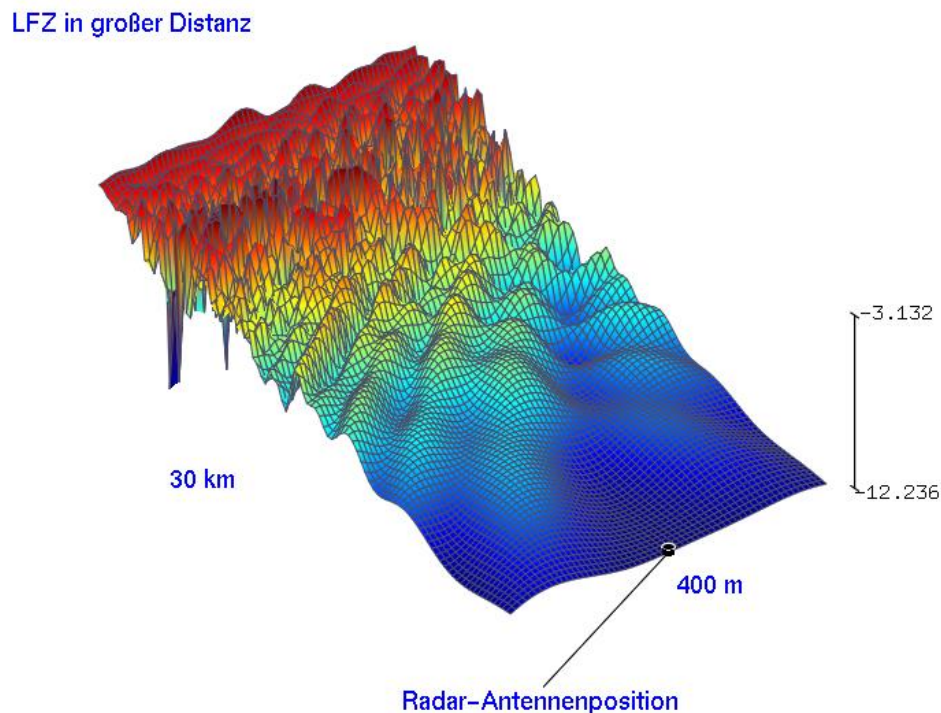


Abbildung 9: Reflexions- und Streufeldausbildung für die Anordnung A4 im Einflussbereich der Radaranlage Elmenhorst

Aus den abgebildeten Werten der Abbildung 9 mit $-12,236$ dBV/m errechnet sich gegenüber der Referenz gemäß den genannten Kriterien eine Reichweite von

100 %.

Der Verschattungseinfluss ist messtechnisch nicht feststellbar, das Kriterium ist erfüllt.

Anordnung A5 der geplanten Situation gemäß Tabelle 5. Die Analysen werden bei einer mittleren Distanz der Anordnung von ca. 23,81 km zur Radaranlage Elmenhorst durchgeführt.

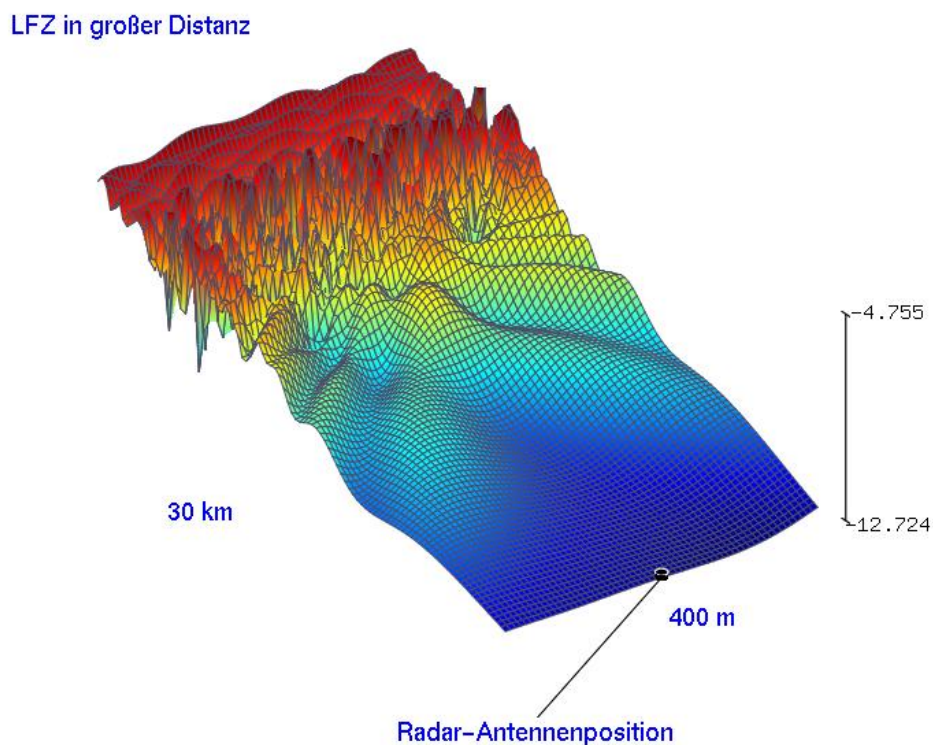


Abbildung 10: Reflexions- und Streufeldausbildung für die Anordnung A5 im Einflussbereich der Radaranlage Elmenhorst

Aus den abgebildeten Werten der Abbildung 10 mit -12,724 dBV/m errechnet sich gegenüber der Referenz gemäß den genannten Kriterien eine Reichweite von

98,38 %.

Der Verschattungseinfluss ist messtechnisch nicht feststellbar, das Kriterium ist erfüllt.

6.3 Bewertung des Gesamteinflusses des Windparks

In den Untersuchungen wurden die geplanten WEA in Rehna-Torisdorf als künftige Situation unter Berücksichtigung der Vorbelastung analysiert.

Die Ergebnisse gemäß dem Kapitel 6.2 zeigen für die geplanten Windenergieanlagen für die untersuchten Anordnungen keine Verschattungserscheinungen, die das Reichweitenkriterium von 96,2 % verletzen.

Zusätzlicher Handlungsbedarf für die geplanten Windenergieanlagen durch z. B. Standortänderungen besteht bei den festgestellten Einflüssen nicht.

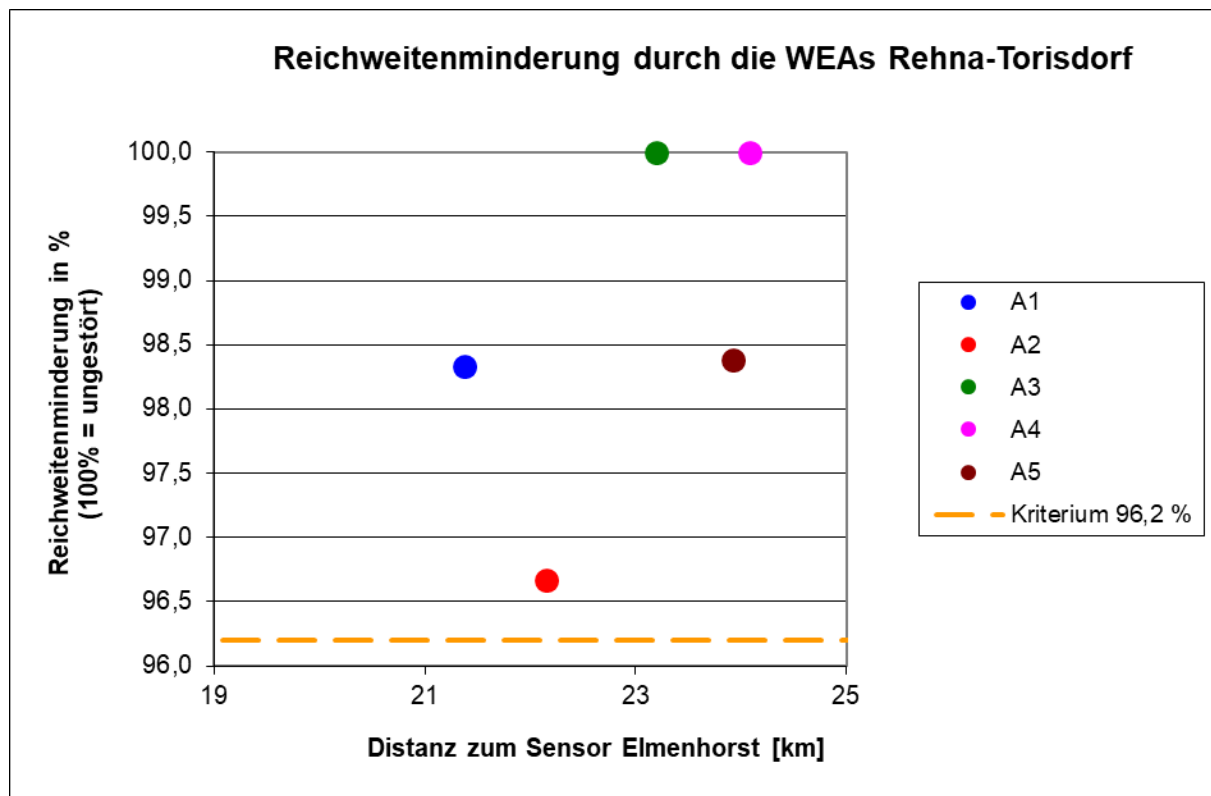


Abbildung 11: Übersicht über die zu erwartende Reichweitenreduktion bei den angegebenen WEA-Konstellationen.

Im direkten Vergleich mit der Referenz ohne WEA sind der radartechnisch wirksame Verschattungseffekt von einer WEA-Struktur bis zur Radarortungsanlage sowie die von der WEA verursachten Streufelder erkennbar. Deutlich sichtbar wird ebenfalls die

Die Weitergabe sowie Vervielfältigung dieser Unterlage ist nicht gestattet, soweit nicht ausdrücklich zugestanden. Zuwiderhandlungen verpflichten zu Schadensersatz. Insbesondere die Veröffentlichung in öffentlich zugänglichen Medien setzt eine explizite schriftliche Zustimmung durch Airbus Defence and Space voraus. Alle Rechte für den Fall der Patenterteilung oder Gebrauchsmuster – Eintragung vorbehalten. Quellenangabe: Alle genutzten Darstellungen sind durch Airbus Defence and Space, bzw. den Bearbeiter erzeugt worden. Bei Luftaufnahmen wird teilweise auf Google Earth Abbildungen zurückgegriffen.

unterschiedliche Ausdehnung und Ausprägung des Streufeldes infolge von Reflexions- und Beugungserscheinungen an den verschiedenen WEA-Strukturen in Abhängigkeit von der Distanz zum Radarsensor. Die angegebenen untersuchten Fälle zu WEA-Mehrfachanordnungen berücksichtigen die azimutale Breite des Antennenbeams des aktuellen Radarsystems im Hinblick auf eine zeitgleiche Erfassung benachbarter WEA. Die Abbildung 12 gibt hierzu eine Übersicht für den Richtungsbereich der Planung.

Die nachstehende Abbildung 12 gibt die Perspektive der vorhandenen und geplanten Windenergieanlagen über Azimut und Elevation bzgl. der Gondelpositionen für das Radar Elmenhorst wieder. Die Bereiche der untersuchten Anordnungen sind farbig hinterlegt.

Bei den analysierten Teilanordnungen wird grundsätzlich neben anderen Parametern der Radaranlage auch die Breite der Antennenkeule berücksichtigt. Bei den jeweiligen Teilanalysen wird das Lfz mittig bzgl. des jeweils analysierten Azimutabschnittes in großer Entfernung angenommen und der hervorgerufene Verschattungseinfluss im Sekundärpfad bzw. die von den Windenergieanlagen in Richtung Radarortungsanlage zeigende Verschattungswirkung analysiert. Die Auswahl der untersuchten Teilanordnungen basiert auf der Auswertung der geplanten Standorte unter dem Aspekt der geringsten Azimutabstände und der damit verbundenen stärksten Verschattungerscheinungen bzw. Reichweitenminderungen.

Befindet sich ein Lfz hinter einer WEA-Anordnung mit geringen Azimutabständen, so werden bedingt durch die direkten Verschattungen sowie stärkeren Wechselwirkungen untereinander die größten Verschattungserscheinungen bzw. Reichweitenminderungen auftreten. Verschiebt sich die Lfz-Azimutposition aus diesem Bereich mit geringen Azimutabständen der WEA heraus, nimmt der Verschattungseinfluss grundsätzlich ab.

In der Abbildung 12 ist die Perspektive der untersuchten Teilausschnitte des Windparks über Azimut und Elevation bzgl. der Gondelpositionen für das Radar Elmenhorst dargestellt. Hierbei zeigen sich die jeweiligen Separationsabstände der Gondelpositionen im Azimut sowie in der Elevation.

Die Teilanordnungen mit den stärksten Verdichtungen für die Planungsanlagen sind in der Abbildung 12 durch farbige Flächen gekennzeichnet. Die jeweiligen Lfz-Positionen im Azimut sind für die Teilanordnungen schematisch gekennzeichnet.

Die Detailanalysen, bei denen das Lfz hinter einer WEA-Verdichtung mit geringen Azimutabständen angeordnet ist, geben den jeweiligen Worst-Case Fall einer Verdichtung wieder. Die Azimutbreite der Teilanordnungen ist somit nicht zwingend identisch mit der Azimutauflösung des Radargerätes.

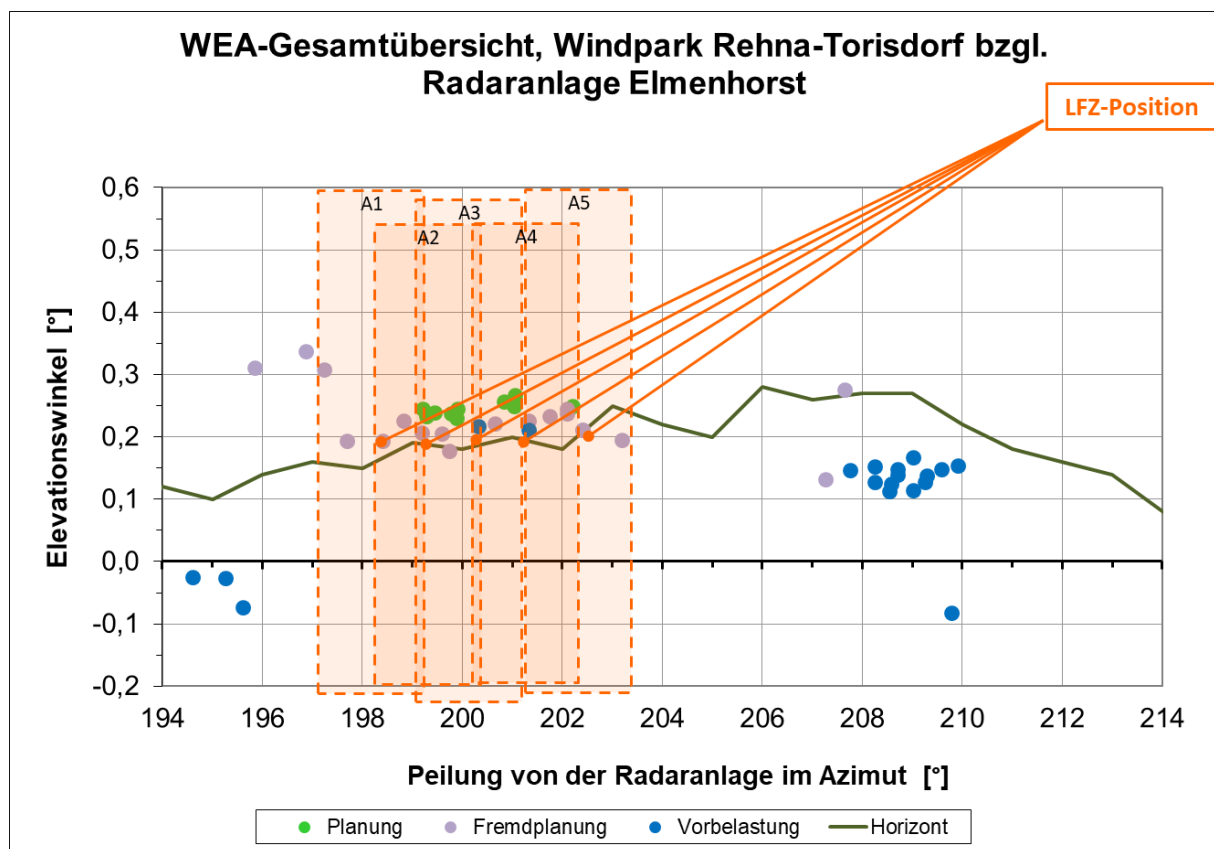


Abbildung 12: Perspektive zur Gondelanordnung gemäß Azimut und Elevation für die Position des Radars Elmenhorst. Die Bereiche der analysierten Teilanordnungen sind durch farbige Flächen gekennzeichnet. Die Richtung und Elevation des angenommenen Lfz ist dargestellt.

7 Gesamtbeurteilung/Zusammenfassung der Ergebnisse

Ergebnisse für die WP-Planung bzgl. des Radars Elmenhorst:

Um eine Situation sicherzustellen, die auch bei Errichtung der geplanten WEAs für die Radaranlage in Elmenhorst eine der bisherigen Betriebssituation gleichwertige Beeinflussung bzw. Radarreichweite schafft, ist die nachstehende WEA-Anordnung gemäß Abbildung 13 sowie Tabelle 6 zulässig:



Abbildung 13: Übersicht über den Windpark Rehna-Torisdorf mit den geplanten Windenergieanlagen (grün), der Fremdplanungen (magenta) sowie der Vorbelastung (blau). Die Einstrahlungsrichtungen bzgl. der Radaranlage Elmenhorst sind gelb dargestellt.

Standort	Anlage	WGS 84 Nord	WGS 84 Ost	Naben- höhe [m]	Gelände- höhe [m]	Elevation [°]	Distanz [m]	Winkel [°]
Planung								
WEA 1	Vestas V172	53° 48' 26,70"	10° 59' 34,68"	175	40	0,245	22837,87	199,896
WEA 2	Vestas V172	53° 48' 12,91"	10° 59' 29,05"	175	40	0,237	23273,96	199,779
WEA 3	Vestas V172	53° 48' 5,32"	10° 58' 25,94"	175	49,6	0,250	23905,08	202,197
WEA 4	Vestas V172	53° 48' 0,20"	10° 59' 18,88"	175	40	0,230	23706,68	199,883
WEA 5	Vestas V172	53° 47' 39,88"	10° 59' 23,01"	175	50,2	0,245	24273,90	199,213
WEA 6	Vestas V172	53° 47' 30,17"	10° 59' 11,75"	175	50	0,238	24625,24	199,437
WEA 7	Vestas V172	53° 47' 19,84"	10° 59' 9,67"	175	50	0,233	24939,30	199,277
WEA 8	Vestas V172	53° 47' 33,51"	10° 58' 38,89"	175	58,7	0,257	24734,27	200,832
WEA 9	Vestas V172	53° 47' 46,42"	10° 58' 41,59"	175	60	0,267	24343,65	201,055
WEA 10	Vestas V172	53° 47' 58,19"	10° 58' 49,76"	175	50	0,250	23950,35	201,032
Fremdplanung								
WEA FP01	L147-4.3	53° 51' 30,33"	11° 1' 29,23"	125,5	30	0,178	16786,60	199,737
WEA FP02	L147-4.3	53° 51' 21,40"	11° 1' 46,89"	125,5	35,4	0,193	16942,59	198,395
WEA FP03	L147-4.3	53° 51' 1,62"	11° 1' 48,11"	125,5	38,4	0,193	17517,39	197,696
WEA FP04	E-138 EP3 E2	53° 51' 17,63"	11° 1' 24,24"	131	35	0,206	17187,11	199,583
WEA FP05	N149-4.5	53° 50' 35,20"	11° 1' 42,29"	167	38,3	0,308	18328,67	197,240
WEA FP06	N149-4.5	53° 51' 7,60"	11° 2' 22,98"	167	30,2	0,311	17156,95	195,855
WEA FP07	N149-4.5	53° 51' 16,01"	11° 2' 9,91"	167	36,6	0,337	16974,45	196,869
WEA FP08	E-138 EP3	53° 50' 29,09"	10° 58' 20,94"	130	26	0,132	19898,31	207,260
WEA FP09	SG 6.0-170	53° 51' 11,96"	10° 58' 50,56"	167	29	0,276	18472,24	207,642
WEA FP10	V150-5.6	53° 48' 40,01"	10° 58' 26,16"	166	30	0,196	22913,24	203,196
WEA FP11	V150-5.6	53° 48' 35,46"	10° 58' 41,92"	166	36,5	0,212	22931,81	202,396
WEA FP12	V150-5.6	53° 48' 22,76"	10° 58' 33,07"	166	39,3	0,212	23356,54	202,398
WEA FP13	V150-5.6	53° 48' 20,93"	10° 58' 57,59"	166	44	0,225	23242,78	201,321
WEA FP14	V150-5.6	53° 47' 51,86"	10° 58' 19,46"	166	60	0,246	24335,33	202,087
WEA FP15	V150-5.6	53° 47' 38,37"	10° 58' 10,31"	166	60	0,238	24784,77	202,086
WEA FP16	V150-5.6	53° 47' 23,54"	10° 58' 9,22"	166	61,2	0,234	25217,90	201,738
WEA FP17	V150-5.6	53° 48' 38,40"	11° 0' 5,84"	166	38	0,226	22308,19	198,833
WEA FP18	V150-5.6	53° 47' 20,76"	10° 58' 35,46"	166	55,2	0,222	25125,30	200,647
WEA FP19	V150-5.6	53° 47' 8,05"	10° 59' 4,89"	166	50	0,207	25312,36	199,193
Vorbelastung								
WEA B01	E-82 E2 2.3 MW	53° 50' 9,49"	10° 57' 35,41"	138	15,6	0,113	20822,56	208,538
WEA B02	E-82 E2 2.3 MW	53° 50' 14,96"	10° 57' 46,82"	138	19,8	0,128	20574,78	208,251
WEA B03	E-92 2.3 MW	53° 50' 31,01"	10° 57' 54,14"	138,4	16	0,125	20074,40	208,582
WEA B04	E-92 2.3 MW	53° 50' 21,62"	10° 58' 3,81"	138,4	24,3	0,146	20247,48	207,751
WEA B05	E-92 2.3 MW	53° 50' 5,36"	10° 57' 20,59"	138,4	16,58	0,114	21064,57	209,021
WEA B06	E-92 2.3 MW	53° 50' 17,66"	10° 57' 27,01"	138,4	19,88	0,128	20675,06	209,246
WEA B07	E-92 2.3 MW	53° 50' 31,81"	10° 57' 39,45"	138,4	21,2	0,138	20182,19	209,286
WEA B08	E-92 2.3 MW	53° 50' 40,41"	10° 57' 41,14"	138,4	23,57	0,149	19935,22	209,581
WEA B09	E-92 2.3 MW	53° 50' 39,60"	10° 57' 59,23"	138,4	22,81	0,148	19796,63	208,712
WEA B10	E-92 2.3 MW	53° 50' 49,10"	10° 57' 42,22"	138,4	24,46	0,155	19691,91	209,915
WEA B11	E-92 2.3 MW	53° 50' 51,27"	10° 58' 3,42"	138,4	27,55	0,168	19443,45	209,022
WEA B12	E-92 2.3 MW	53° 50' 50,29"	10° 58' 18,79"	138,4	21,92	0,152	19335,90	208,250
WEA B13	E-92 2.3 MW	53° 50' 22,75"	10° 57' 43,71"	138	23	0,140	20389,86	208,711
WEA B14	V80-2.0MW	53° 50' 11,55"	10° 57' 9,04"	78	4,8	-0,082	21000,91	209,778
WEA B15	S77-1.500	53° 47' 15,02"	11° 1' 2,29"	61,5	50	-0,025	24483,88	194,600
WEA B16	S77-1.500	53° 47' 7,90"	11° 0' 43,00"	61,5	50	-0,027	24787,20	195,263
WEA B17	V27-225/50	53° 48' 7,91"	11° 1' 2,63"	33,5	55	-0,073	22902,95	195,611
WEA B18	Vestas V162	53° 48' 9,24"	10° 58' 49,96"	169	38	0,212	23630,24	201,320
WEA B19	Vestas V162	53° 48' 6,09"	10° 59' 12,03"	169	40	0,217	23578,44	200,319

Tabelle 6: Koordinatenübersicht über die analysierte radartechnisch zulässige Aufstellung mit den Planungsanlagen im Windpark Rehna-Torisdorf (grün), der Fremdplanungen (magenta) sowie der Vorbelastung (blau)

Die Weitergabe sowie Vervielfältigung dieser Unterlage ist nicht gestattet, soweit nicht ausdrücklich zugestanden. Zuwiderhandlungen verpflichten zu Schadensersatz. Insbesondere die Veröffentlichung in öffentlich zugänglichen Medien setzt eine explizite schriftliche Zustimmung durch Airbus Defence and Space voraus. Alle Rechte für den Fall der Patenterteilung oder Gebrauchsmuster – Eintragung vorbehalten. Quellenangabe: Alle genutzten Darstellungen sind durch Airbus Defence and Space, bzw. den Bearbeiter erzeugt worden. Bei Luftaufnahmen wird teilweise auf Google Earth Abbildungen zurückgegriffen.

Die Abbildung 13 zeigt eine Luftbildaufnahme des Windparkgebietes als Detailansicht der grün gekennzeichneten geplanten Windenergieanlagen im Windpark Rehna-Torisdorf in Verbindung mit den magenta dargestellten Fremdplanungen sowie der blau gekennzeichneten Vorbelastung. Die Koordinaten der geplanten WEA, des Fremdplanungen und der Vorbelastung sowie die jeweiligen Entfernungen, die Elevation und Azimutwinkelbezüge zum Radar Elmenhorst sind der Tabelle 6 zu entnehmen.

Die zu erwartenden Reichweitenminderungen durch die grün gekennzeichneten geplanten Windenergieanlagen in Verbindung mit den magenta gekennzeichneten WEA der Fremdplanung und der blau dargestellten Vorbelastung erfüllen das Kriterium von 96,2 %.

Bei der Realisierung der Planungsstandorte sind Ortsabweichungen in allen Richtungen gegenüber den Koordinaten gemäß Tabelle 6 in der Größenordnung des Turmdurchmessers – im unteren Höhenbereich – ohne Einfluss auf die Ergebnisse in allen Richtungen zulässig.

Für die vorliegende Radaranlage in Elmenhorst, die als 3D-Radaranlage zur Luftverteidigung dient, können ohne zusätzliche Änderungen die geplanten Windenergieanlagen radartechnisch akzeptiert werden, da aufgrund der Untersuchungsergebnisse nur eine unerhebliche, messtechnisch jedoch aufgrund der Geringfügigkeit nicht feststellbare Reichweitenänderung gegenüber der heutigen Situation vorliegen wird.

Die Streufeldeinflüsse, bedingt durch die zukünftige Windparksituation mit den geplanten WEA, weisen eine geringe Intensitätszunahme auf, infolge derer jedoch keine feststellbaren, verschattungswirksamen Auswirkungen auf das Radarsystem zu erwarten sind. Zusätzlicher Handlungsbedarf für die zulässigen geplanten Windenergieanlagen besteht bei den festgestellten Einflüssen nicht.

Hinweis:

Sämtliche Ergebnisse sind unter den für die untersuchten WEA-Standorte angegebenen Randbedingungen gültig. Ein Übertrag der Ergebnisse auf andere Windenergieanlagen oder auf andere Standorte ist nur mit Einschränkungen möglich. Bei Änderungen der WEA-Konstruktionen, der Standorte oder bei abweichenden Geländeprofilen verlieren die ermittelten Ergebnisse ihre Gültigkeit.

Alle Untersuchungsobjekte sind hinsichtlich Konstruktion und Material vom Auftraggeber vorgegeben worden. Alle Untersuchungen und theoretischen Analysen sind vom Sachverständigen persönlich durchgeführt worden. Der Schwerpunkt der Unterstützung durch Dipl.-Ing. (FH) T.Bischoff liegt in der Durchführung der Simulationsverfahren nach festgelegten Prozessen.

Alle genutzten Hilfsmittel sind Eigentum der Airbus Defence and Space GmbH, Betrieb Bremen. Sie entsprechen dem aktuellen Stand der Wissenschaft und Lehre und der Erfahrung aus der Praxis.

Dipl.-Ing. (FH) Michael Gottschalk

Anhang A: Abkürzungen und Begriffe

HADR	=	Typenbezeichnung eines Radargerätes zur Luftverteidigung
ICAO	=	Internationale Zivilluftfahrtorganisation
Lfz	=	Luftfahrzeug
LV-Radar	=	Radar zur Luftverteidigung; 3D-Radar
MoM	=	Momentenmethode ; Analyseverfahren zur Hochfrequenzausbreitung
MPR	=	Typenbezeichnung eines Radargerätes zur Luftverteidigung
NH	=	Nabenhöhe
Radial	=	Betrachtung der Linie Radar-Zielobjekt
Reichweiten- minderung	=	Maß für die Beschränkung/Minderung der radarwirksamen Einsehbarkeit in definierte Luftraumsektionen. Die ideale Betriebsbedingung liegt vor für einen Wert von 100 %.
RQS/RCS	=	Radar-Cross-Section (Radarquerschnitt/Radarreflexionsintensität)
RRP 117	=	Typenbezeichnung eines Radargerätes zur Luftverteidigung
SASS-C	=	Software von EUROCONTROL zur Radardatenaufzeichnung und Analyse bzgl. Positionsgenauigkeit in Range und Azimut sowie bzgl. der Probability of Detection für PSR und SSR
SSR/IFF	=	Secondary Surveillance Radar (Sekundärradar)
WEA	=	Windenergieanlage